

OTAC review task

드론 보안성 분석 보고서

September, 2021

고려대학교 정보보호대학원
무인이동체보안연구센터



KOREA
UNIVERSITY



고려대학교 정보보호대학원
Korea University
School of Cybersecurity

Table of contents

1 Drone network protocol 분석	3
1.1 MAVLink 개요	3
1.2 무인이동체 네트워크 위	3
1.3 GCS 또는 조종기로 위장한 공격자	4
1.4 정	5
2 OTAC 안전성 분석	6
2.1 OTAC (분석	6
2.1.1 (분석	6
2.1.2 엔트로피 기반 랜덤성 평가	6
2.2 T드 예 가능성 분석	9
2.2.1 공격자 모델	9
2.2.2 분석 방법	9
2.2.3 분석 결과	10
3 OTAC 적용된 drone network protocol 의 replay attack 분석	11
3.1 OTAC 적용된 TUA 분석	11
3.2 OTAC 기반 MAVLink 통 보안 평가	11
3.3 분석 결과	11
4 결론	12

List of tables

2.1	Entropy-based randomness test result per sample	7
2.2	An OTAC code sequence during 425 code update periods corresponding to the plain text '0x05DC'	8
3.1	Structure of customized OTAC MAVLink message	11

List of figures

1.1	Structure of MAVLink 2.0 frame	3
1.2	Drone network components and network topologies	3
1.3	Experimental setup	4
1.4	Simulation results of the attacks.	5
2.1	Packet analysis result	6
2.2	Training and estimation process	9
2.3	Training data distribution	10
2.4	Estimation success probability according to bit position.	10

1 Drone network protocol 분석

1.1 MAVLink 개요

STX (0xFD)	LEN	INC FLAGS	CMP FLAGS	SEQ	SYS ID	COMP ID	MSG ID 3 bytes	PAYLOAD 0-255 bytes	CHECKSUM 2 bytes
------------	-----	-----------	-----------	-----	--------	---------	-------------------	------------------------	---------------------

Figure 1.1: Structure of MAVLink 2.0 frame

MAVLink (Micro Air Vehicle Link)는 AA 통제 시스템(GCS; Ground Control System)과 D행체 간의 통신 혹은 D행체 내 구성요소 간 통신을 위해 사용되는 T세O 프로토\이다. Figure 1.1은 MAVLink 2.0의 프레임 구조를 나타낸다. 노드들은 MSG ID를 기반으로 PAYLOAD를 해석하고, 기본적인 드론 운용을 위한 다양한 T세AA입이 미리 정의되어있다. MAVLink 설계 시 보안에 대한 고려가 되어있지 않아 공격자가 쉽게 T세AA 위/변조할 수 있다.

1.2 무인이동체 내부 네트워크

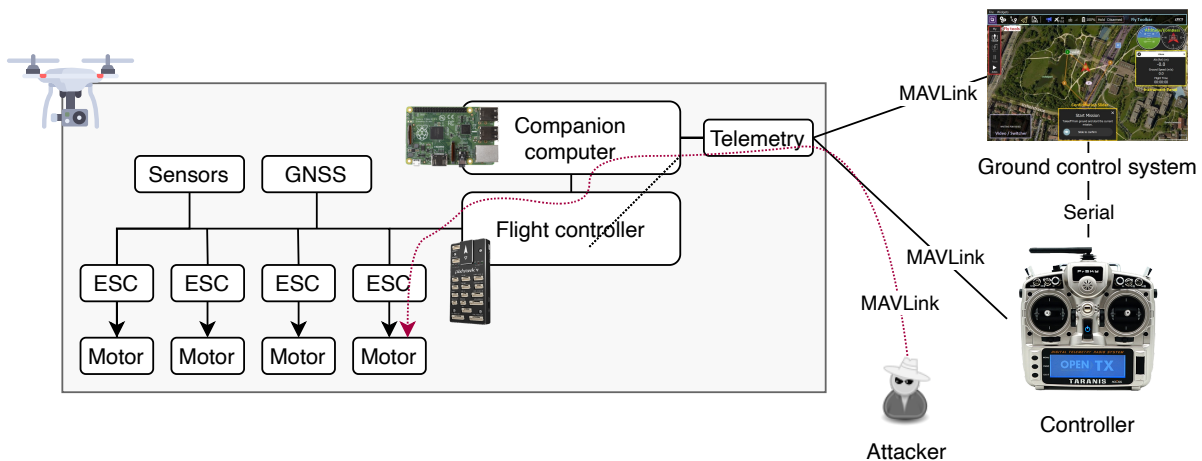


Figure 1.2: Drone network components and network topologies

Figure 1.2는 무인이동체 내부 구성도를 나타낸다. 무인이동체 내부에는 드론 본체, AA 통제 시스템, 조종기로 구성되어 일반적으로 드론은 GCS 또는 조종기에 의해 제어된다. 각 노드는 MAVLink 프로토\를 기반으로 서로 통신한다. AA 통제 시스템과 조종기의 차이점은 다음과 같다.

GCS GCS는 드론의 비행 경로, Way-point 기반의 드론 제어, 드론 환경설정 등 다양한 목적으로 사용된다. GCS는 드론이 주기적으로 전송하는 정보 (AA 적 위치, 고도, 자세 정보, 배터리 잔량 등)를 해석하고 이를 바탕으로 비행 경로로 구성하여 화제에 전달한다. 운전자는 GCS를 활용하여 1정 Way-point를 미리 드론에 입력해 두고 조종기 없이 드론이 자동으로 임무를 수행하는 환경을 구성할 수도 있다.

조종기 조종기는 드론의 움직임을 직접 제어하기 위해 사용된다. 일반적으로 조종기에는 throttle, yaw, pitch, roll 4개의 채널에 해당하는 조이스틱이 존재하며, 운전자가 제어하는 조이스틱의 값은 PWM 신호의 형태로 드론에 전송된다.

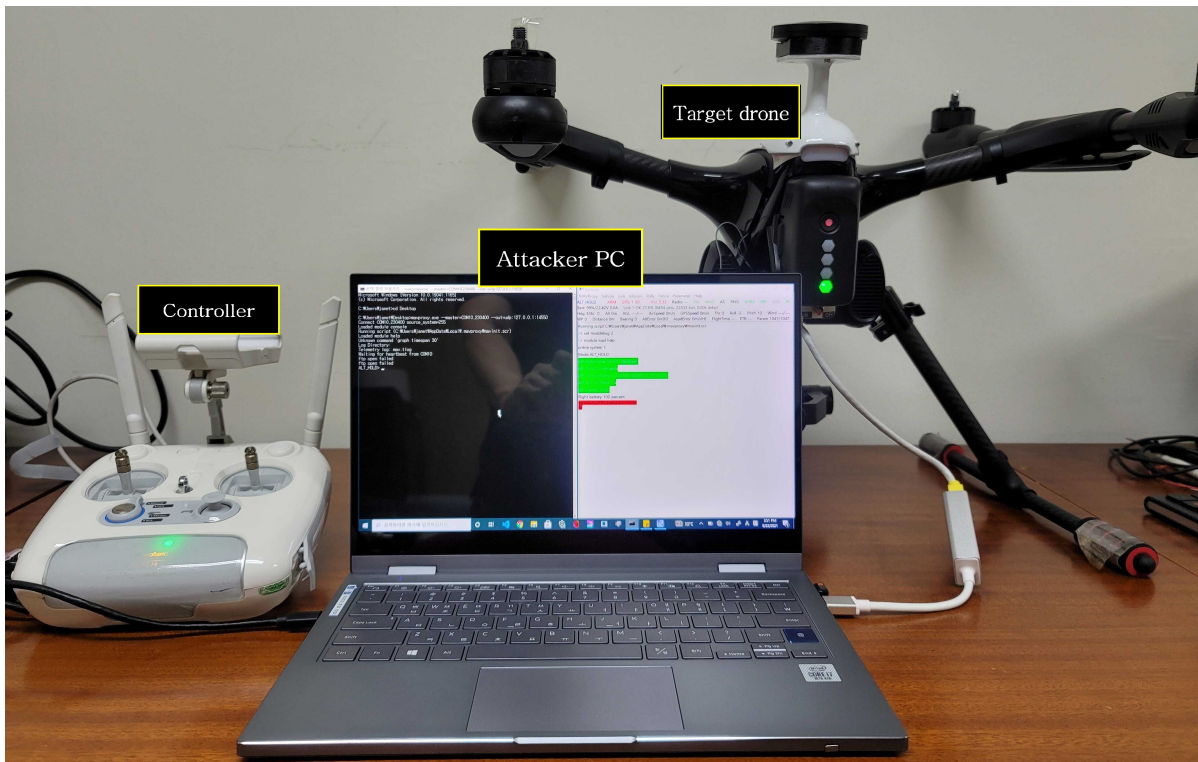


Figure 1.3: Experimental setup

1.3 GCS 또는 조종기로 위장한 공격자

Figure 1.3은 공격자 | i 함한 à 힘 환경 구성을 나A낸다. 드론 네, 위 에 h, 한 공격자는 네, 위 노드들(드론, GCS, 조종기 등)이 Y성하는 MAVLink T 세A | α니핑하거나 A접 MAVLink T 세A | Y성하여 1 정 노드에게 전송할 있다. 본 연구에서는 드론 네, 위 에 h, 한 공격자 | 구현하기 위해 공격자 PC에서 MAVProxy¹ | 통해 조종기 | 제어하였다. Python 라이 리-인 pymavlink² | 이용하여 공격 T 세A | 구현하고 이 | 조종기에 전달 하여 드론에 공격 T 세A | 전송하였다. 공격의 유형과 공격으로 인한 효과는 아래와 같다.

ARM/DISARM MAV_CMD_COMPONENT_ARM_DI SARM ... 령어 | 주입하여 임의로 드론에 Ü동 을 걸거나 Ü동을 끌 있었다.

조종기 채널 PWM 값 주입 공격 공격자가 채널 PWM 값을 임의로 Y성하여 이 | 드론에 주 입하였다. Figure 1.4a는 공격자 PC에서 채널 PWM 값 주입 공격을 Ü도하는 " μ 을 보여 다. 드론은 공격 T 세A | 정A 적으로 à 하였으나 본 à 힘 환경에서는 이미 조종기가 " 든 채널을 점유하고 있었기 때문에 à E 적으로 공격의 효과가 나A나A는 않았다.

미션 조작 공격 드론에 등록된 Way-point | " œ하거나 임의의 Way-point | - 제한 있었 다. Figure 1.4b는 공격자 PC에서 확인한 드론의 Way-point | 나A낸다.

서비스 거부 공격 HEARTBEAT, PING, PARAM_REQUEST_LI ST 등의 MAVLink command | 과 도하게 전송하여 드론 내€에 D정A 적인 €하 | 일으- 있었다.

¹<https://ardupilot.org/mavproxy/>

²<https://github.com/ArduPilot/pymavlink>

AP: ServoRelayEvent: Channel 1 is already in use
Got COMMAND_ACK: DO_SET_SERVO: FAILED

```
re-requesting WPs [ ]
re-requesting WPs [2, 3, 4, 5, 6]
re-requesting WPs [2, 3, 4, 5, 6]
16 0 0 0.000000000 0.000000000 0.000000 0 p1=0.0 p2=0.0 p3=0.0 p4=0.0 cur=0 auto=1
16 3 36 4544000000 127.4050176000 100.000000 p1=0.0 p2=0.0 p3=0.0 p4=0.0 cur=0 auto=1
16 3 36 4561328000 127.4026384000 150.000000 p1=0.0 p2=0.0 p3=0.0 p4=0.0 cur=0 auto=1
16 3 36 4581320000 127.4013892000 150.000000 p1=0.0 p2=0.0 p3=0.0 p4=0.0 cur=0 auto=1
16 3 36 4610876000 127.4008448000 150.000000 p1=0.0 p2=0.0 p3=0.0 p4=0.0 cur=0 auto=1
16 3 36 4611548000 127.4004456000 150.000000 p1=0.0 p2=0.0 p3=0.0 p4=0.0 cur=0 auto=1
16 3 36 4582144000 127.4008704000 150.000000 p1=0.0 p2=0.0 p3=0.0 p4=0.0 cur=0 auto=1
16 3 36 4558944000 127.4026388000 150.000000 p1=0.0 p2=0.0 p3=0.0 p4=0.0 cur=0 auto=1
16 3 36 4541088000 127.4049732000 100.000000 p1=0.0 p2=0.0 p3=0.0 p4=0.0 cur=0 auto=1
Saved 9 waypoints to way.txt
```

(a) Channel PWM injection attack

(b) Way-point disclosure attack

Figure 1.4: Simulation results of the attacks.

1.4 정리

드론 네, 위 에 h, 하기 한다t 공격자는 Remocopter 500 드론 | 통제할 있는 다
양한 단을 얻을 있다는 -ä 을 확인했다. ä 제 ä 힘을 통해 드론의 Ü동을 끄고 는
공격, Way-point | 조작하는 공격, 드론 내€에 D정A적인 €하 | 발Y Üα는 공격 등이
가능함을 입• 했다.

2 OTAC 안전성 분석

2.1 OTAC 패킷 분석

2.1.1 패킷 분석

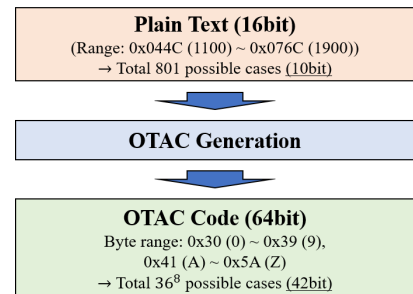
OTAC 텍스트 길이는 16D, 길이의 문자를 80D, 길이의 OTAC 텍스트로 변환한다. 문자 데이터는 드론의 D행제어에 사용되는 명령어에 해당하며, 80D의 OTAC 텍스트 2바이트는 0x0000으로 고정값을 가지고 있다. 또한, 제공된 데이터의 4을 활용하여 (문자, 텍스트) 을 , 석한 결과, 조종기의 명령은 4개의 채널을 통해 전송되며, 모든 채널은 공통된 seed를 사용하여 OTAC 텍스트를 생성하는 것을 확인하였다. 데이터에, OTAC 텍스트 변환 주기 내에서 문자 M에 대응되는 OTAC 텍스트 C는 4개의 채널에서 모두 동일하였다. 또한, OTAC 텍스트 변환 주기 내에서는 문자 M에 대응되는 OTAC 텍스트 C는 고정값을 가지는 것을 확인하였다. 하지만, C는 업데이트, 주기로 인해 공격자는 획득한 OTAC 텍스트를 이용하여 유효한 공격을 행하기 어렵다. Figure 2.1a은 문자와 이에 대응하는 OTAC 텍스트를 보여 준다.

드론 제어 명령인 문자는 1100 ~ 1900 범위의 범위 내에, 이는 801개의 경우의 수로 표현된다.

OTAC 텍스트의 개별 바이트 값은 ASCII 텍스트에서 0 ~ 9 범위의 숫자와 A ~ Z 범위의 대문자 알파벳을 사용한다. 따라서 OTAC 텍스트의 개별 바이트는 36개의 경우의 수를 가지며, 고정된 2바이트를 제외한 8바이트는 36⁸ 개의 경우의 수로 표현된다. Figure 2.1b은 (, 석결과에 따라 OTAC 텍스트 생성 프로세스를 보여 준다.

Session	Plain Text				OTAC Code			
	Ch1	Ch2	Ch3	Ch4	Ch1	Ch2	Ch3	Ch4
#1	1500	1600	1600	1600	A3CDCDWR	CVBRWEIT	CVBRWEIT	CVBRWEIT
#2	1500	1550	1550	1600	FEAC4FWE	FDWEGDFV	FDWEGDFV	WEFGCVBE
#3	1500	1400	1400	1600	TGW5QEYG	TH6FX7VE	TH6FX7VE	UYJGGNHG

(a) Example of captured packets



(b) Overall OTAC generation process

Figure 2.1: Packet analysis result

문자 입력은 1100 ~ 1900 범위의 801개의 문자로 표현되며, 이는 10D, 문자의 입력 다양성을 보여 준다. OTAC 텍스트의 개별 바이트는 36개의 ASCII 텍스트 하나를 사용하여 나타내며, 결과적으로 8바이트 길이의 OTAC 텍스트는 36⁸ 개의 표현 가능한 경우의 수를 가진다. 이는 42D, 문자의 다양성을 보여 준다.

2.1.2 엔트로피 기반 랜덤성 평가

본 연구에서는 OTAC 텍스트의 엔트로피에 기반한 랜덤성 평가를 진행한다. 이를 위해 개별 세션에서 생성된 64D 길이의 OTAC 텍스트의 엔트로피를 측정하여 랜덤성을 평가한다. 이를 위해 425개의 OTAC 텍스트 변환 주기 동안 동일 문자에 대응되는 OTAC 텍스트를 수집하였다. 구체적으로, 조종기가 전송할 명령어 범위를, 기값에 해당하는 명령어인 1500에 대응하는 OTAC 텍스트를 수집하였다. Table 2.2는 본 보고서에 사용한 425개의 OTAC 텍스트 변환 주기 동안 수집된 OTAC 텍스트의 인덱스별 D, 값을 보여 준다. 엔트로피 기반 랜덤성 평가는 Approximate Entropy Test 및 Cumulative Sums (Cusum) Test로 구성된다. Table 2.1 는 엔

Table 2.1: Entropy-based randomness test result per sample

	Approximate Entropy Test	Cumulative Sums (Cusum) Test
Mean	1.00E+00	5.15E-01
TRUE	425	425
FALSE	0	0

엔트로피 기반 결과 | 보여 다. Table 2.1의 Mean은 개별 랜덤성 테스트, α 값의 평균이 ρ , True/False는 α 값을 기반으로 단한 OTAC 테스트들의 엔트로피 기반 랜덤성 통과 여부 | 보여 다.

엔트로피 기반 테스트 랜덤성 테스트 결과 2개의 테스트 | 모두 통과하였다. 따라서 OTAC은 엔트로피 테스트 관점에서 충분한 랜덤성을 가진 것으로 분석된다.

2.2 코드 예측가능성 분석

2.2.1 공격자 모델

제공된 , 석환경은 OTAC T 드 Y 성 알고 ~ 에 대한 정보 없이, E 문과 고정된 seed로 E 터 Y 성되는 OTAC T 드 을 이용하여 안전성 , 석을 행한다. E 문과 OTAC T 드의 관계는 동일한 OTAC T 드 변환 주기 내에서 유효하므로, 공격자는 동일한 OTAC T 드 변환 주기내에서 주어진 E 문과 OTAC T 드 을 기반으로 , 석을 행한다. 이후, 공격자는 E 록게 업데이트 된 OTAC T 드 변환 주기에서 N 된 OTAC T 드 을 이용하여 해당 OTAC T 드 변환 주기에서 유효하게 ~ 용가능한 OTAC T 드 을 Y 성한다. Figure 2.2은 본 연구에서 가정한 공격 프로세스 를 보여 다. 정리하면, 공격자는 주어진 OTAC 코드를 활용하여 OTAC 코드 변환 주기내에 사용가능한 새로운 OTAC 코드를 생성하는 것을 목표로 한다.

본 연구에서 가정한 공격자의 @ 는 주어진 OTAC T 드 C 을 이용하여, 동일한 OTAC T 드 변환 주기내에 유효한 OTAC T 드 C' 을 Y 성하는 것이다. 유효한 OTAC T 드인 C' 을 이용하여 공격자는 동일한 OTAC T 드 변환 주기동안 A 겟 드론에 유효한 제어... 령을 주입할 있다. 해당 공격을 통해 공격자는 랜덤" ! (random guessing)을 통해 OTAC T 드 공간에서 유효한 제어... 령을 찾을 확 인 $\frac{2^{10}}{2^{42}} = \frac{1}{2^{32}} \approx 2.32 \times 10^{-10}$ 을 • 가 U ~ 있다.

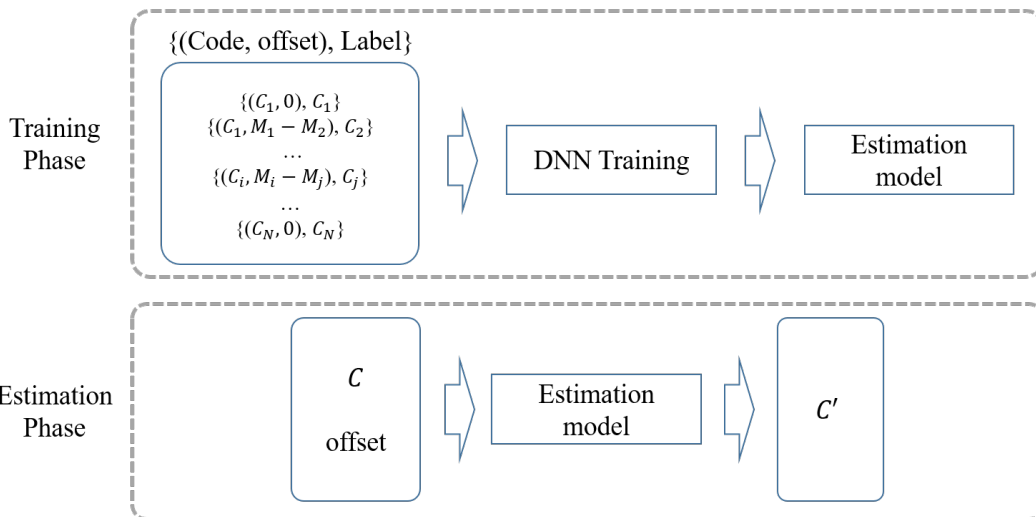


Figure 2.2: Training and estimation process

2.2.2 분석방법

OTAC T 드 변환 주기 S_i 에서 E 문 m_i 에 대한 OTAC T 드 c_i 가 주어졌을때, m'_i 에 해당하는 c'_i 을 Y 성할 경우, 공격자는 드론에게 m'_i 에 해당하는 ... 령을 내 ~ 있다. 따라서 E 문의 오프셋과 T 드 변화의 관계 를 학 μ 하기 위해 m_i 와 m'_i 의 오프셋과 c_i 을 입력으로 받아 c'_i 을 α 령하는 DNN ~ 델을 학 μ U ~ 다. 오프셋을 이용한 T 드 변화 학 μ 을 위해 다양한 E 문이 필요하다. 동일한 OTAC T 드 변환 주기동안 \ 대한 다양한 조작을 하여 데이터 를 ~ 한다. T 드 Y 성 방 Y 은 ä OTAC T 드 변환 주기에 다 변경되기 때문에 오프셋은 데이터 를 OTAC T 드 변환 주기별로 , 할하여 OTAC T 드 변환 주기 내에서 계 ° 한다. 단일 OTAC T 드 변환 주기 내에는 동일한 ... 령어도 다 이 포함되어 있으 p 동일한 E 문으로 E 터 발 Y 하는 오프셋과 T 드 변화는 동일하기 때문에 복처 ~ | 통해 서로 다 x E 문 을 ~ 용한다. 전체 OTAC T 드 변환 주기에 대해 각 OTAC T 드 변환 주기별로 1대1 ä m 을 통한 오프셋과 64D , 이 Ä 로 변형한 전후 T 드 | 계 ° 하여 학 μ 데이터 를 ~ 하였다. Figure 2.3은 DNN ~ 델 학 μ 에 ~ 용된 T 드에 해당하는 E 문 제어... 령어 , 이 및 오프셋 , 이 | 보여 다.

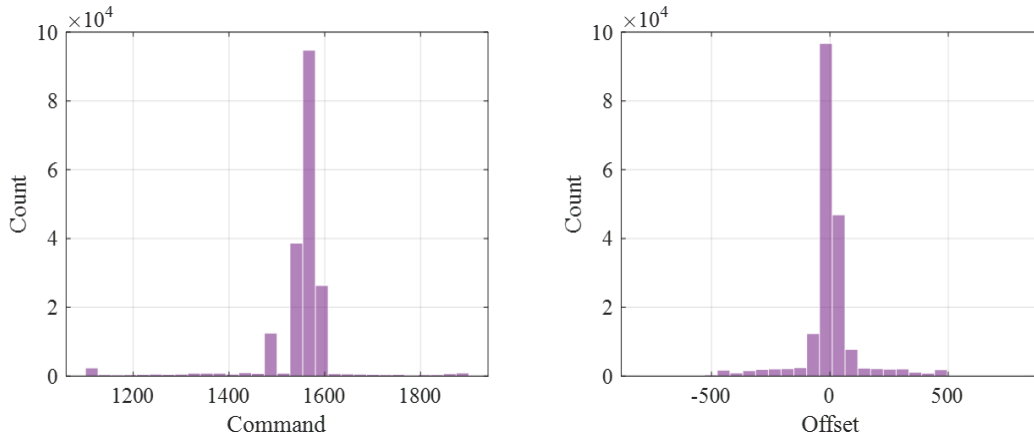


Figure 2.3: Training data distribution

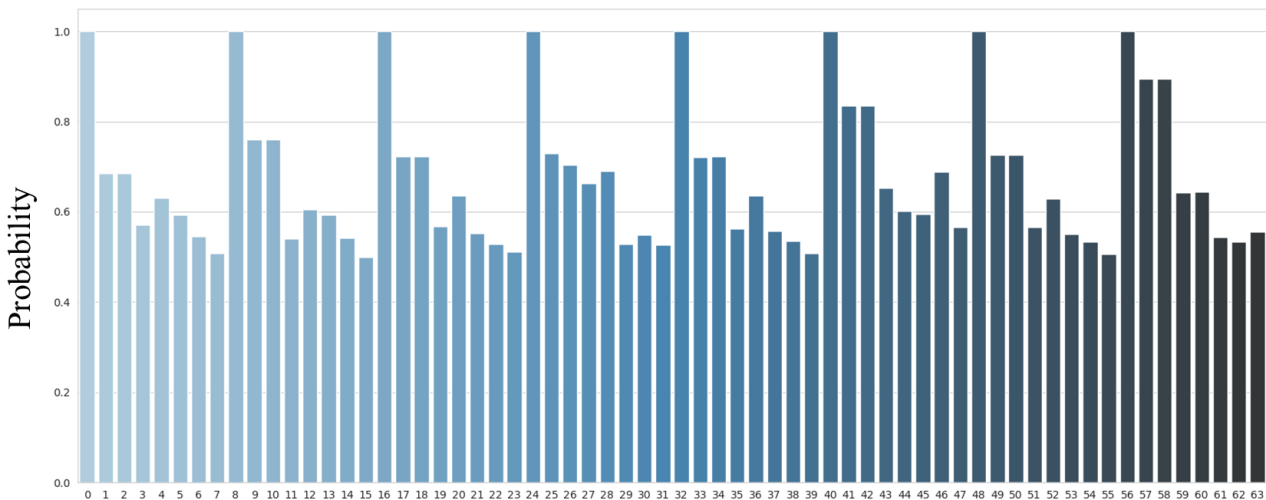


Figure 2.4: Estimation success probability according to bit position

2.2.3 분석결과

DNN 모델의 성능을 더 높이기 위해 DNN 모델의 출력값을 반올림하여 0과 1로 구분 하였으며, 개별 $D_{i,j}$ 의 예시 정확도를 평가하였다. Figure 2.4은 64개의 $D_{i,j}$ 별 예시 정확도를 보여 준다. 각 바이트의 상위 $D_{i,j}$ 의 예시 정확도가 1인 이유는 OTAC 코드의 ASCII 코드 범위가 +자 및 대문자 알파벳으로 제한되었기 때문이다. 구체적으로, 해당 ASCII 코드의 상위 4 $D_{i,j}$ 는 0x3, 0x4, 0x5가 되기 때문에 상위 $D_{i,j}$ 는 0으로 고정되어 있는 성질이 있으며, 나머지 상위 3 $D_{i,j}$ 역시 엔트로피가 낮기 때문에 상대적으로 예시 성공 확률이 높게 나타났다. 하지만 하위 4 $D_{i,j}$ 의 경우에는 예시 정확도가 0.5 수준으로 형성되었기 때문에 랜덤 수준의 정확도를 보였다. 따라서 본 연구에서 가정된 딥러닝 기반의 코드 예시 공격에 안전한 것으로 확인하였다.

OTAC 코드 생성 알고리즘의 출력 값인 64 $D_{i,j}$ 공간 전체로 사용되는 영역이 제한되어 있기 때문에 일부 $D_{i,j}$ 의 경우 상대적으로 높은 확률로 예시 공격에 성공하였다. 하지만, 절반 정도의 $D_{i,j}$ 는 예시 정확도가 0.5 수준으로 형성되었기 때문에, 이는 랜덤 수준의 정확도를 보이기 때문에 코드 예시 공격에 안전하다고 단할 수 있다.

3 OTAC 적용된 drone network protocol 의 replay attack 분석

3.1 OTAC 적용된 메시지 분석

본 연구에서 , 석한 Remocopter 500 드론 U제^ 은 OTAC 암호문을 기반으로 조종기와 통à 한다. 이| 위해 1050의 MSG ID 값을 갖는 Customized MAVLink T 세À 가 -용되고 있음 을 확인하였다. Customized MAVLink T 세À 의 구조는 Table 3.1과 같다. ch1, ch2, ch3, ch4 필드는 조종기 조이αñ으로€터 Y성된 PWM 값의 É문을 담고 있다. 그-고 rollstream, pitchstream, throttlestream, yawstream 필드는 각 채널 별 PWM 값을 OTAC 기 로 암호화 한 암호문을 담고 있다. Remocopter 500 드론과 조종기에는 암호화 `` 드| 각각 활성화 할 있는 기능이 구현되어 있으p, 암호화 `` 드| 활성화 할 U 조종기와 드론은 암호화된 조종 ... 령을 기반으로 통à 한다.

Table 3.1: Structure of customized OTAC MAVLink message

Field name	validotacmodecmd	otacmodecmd	ch1	ch2	ch3	ch4	ch5	ch6	ch7	ch8	reserved	controlcameramode	rollstream	pitchstream	throttlestream	yawstream
Byte index	0	1	2	4	6	8	10	12	14	16	18	20	22	32	42	52
Type	byte	byte	uint16	uint16	uint16	uint16	uint16	uint16	uint16	uint16	uint16	uint16	byte array	byte array	byte array	byte array
Example value (Hex)	0x01	0x02	0x044C	0x05DC	0x05DC	0x05DC	0x05DC	0x05DC	0x0100	0x0000	-	0x0001	0x3736384B343836390000	-	-	-
Example value (Integer)	1	2	1100	1500	1500	1500	1500	1500	256	0	-	1	-	-	-	-
Example value (ASCII)	-	-	-	-	-	-	-	-	-	-	-	-	768K4869	-	-	-

암호화 모드 조종기에서 암호화 `` 드가 활성화된 경우 드론 제어| 위한 É문 PWM 값이 OTAC로 변경되어 드론으로 송à 된다. 이 때, 드론에서 암호화 `` 드가 활성화된 경우 à 된 데이터 α ,¼을 OTAC T 드에서 PWM값이 담긴 É문으로 변경한 뒤 무결성 검-| 행한다. 무결성 검-에서 이À이 없는 경우 계° 된 PWM 값이 à 제 flight controller로 전달된다.

3.2 OTAC 기반 MAVLink 통신 보안 평가

Customized MAVLink T 세À 에 적용된 OTAC 기 의 보안성을 검• 하기 위해 재전송 공격 (Replay attack)을 U도하였다. 재전송 공격이란 다 의 암호문들을 미- Ñ하여 복-한 후 이| 대À 노드에 재전송함으로써 암호문을 복호화 하는 노력 없이 암호 데이터의 유효성을 얻는 공격을 의미한다. 암호화 `` 드 활성화 전후 각각 공격을 U도하고 드론의 ÀU| 관찰하였다.

암호화 `` 드 활성화 여€와 관계 없이, 재전송 공격은 드론에 D행에 영향을 주À » 했다. 조종기는 당 10개의 Customized MAVLink T 세À | Y성하고 10 É다 OTAC U드가 갱à 된다. 공격자는 \대 10 간 관찰한 데이터| 재전송에 활용할 있으므로 드론의 정 À 운행에 영향을 있을| | ©, 한 양의 암호문을 Ñ할 없다. 따라서 OTAC은 재전송 공격으로€터 드론을 보호하는 효과적인 방어 단이 될 있다.

3.3 분석 결과

공격자는 OTAC으로 보호되는 T 세À | 재전송하여 드론에 영향을 없었으p, OTAC 이 조종 ... 령을 효과적으로 보호하고 있음을 확인했다. 하À| Section 1.3에서 알 있듯이, 드론 네 , 위 에 h, 하여 GCS 또는 조종기로 위장한 공격자는 드론을 통제할 있는 다양한 단을 À니게 된다. 따라서 OTAC의 적용 범위| 드론 네 , 위 통à 전반으로 확장해야한다. `` 드 중X의 MAVLink T 세À 에 OTAC을 적용할 경우 드론 내외€ 통à 의 보안성을| 게 향ÀU- 있을 것으로 보인다.

4 결론

본 보고서는 드론과 조종기 간의 MAVLink 프로토콜 기반 무선통話 OTAC 기반 암호화 통話 기 을 적용했을 때의 보안성 향À 여€ | 검토하였다. MAVLink는 무인이동체 | 위한 다양한 기능 구현이 | 포함되어있어 오픈소스 드론 뿐 아니라 다양한 À용 이동체 통話 에 활용되고 있으나 한 , 으로는 보안 관점에서의 설계가 è 약하여 T ÙÀ 위변조, 재-용과 같은 공격에 무방D로 노œ되어 있다. 이러한 한계 | 극복하기 위해 본 보고서의 , 석 대À 드론과 조종기는 MAVLink T ÙÀ payload에 OTAC 기 이 적용되어 있다.

본 보고서는 OTAC 기 이 적용된 드론, 조종기, 그-고 MAVLink T ÙÀ 의 보안성을 , 석하기 위해 OTAC 이 | 함된 MAVLink (, , 석, 엔, 로피 기반 랜덤성, T 드 예! 가능성, replay attack 가능성에 대한 검토 | ä Ù하였다. 공격 | 텔이 OTAC이 적용되어있À 않은 MAVLink ...령 기능을 악용하고자 하는 경우 드론의 Ù동을 끄고 는 공격, Way-point | 조작하는 공격, 드론 내€에 D정À 적인 €하 | 발Ý Ùœ는 공격 등이 가능함을 확인하였다. 그러나, OTAC에 의해 보호되는 조종기와 드론 -이의 PWM 값에 대해서는 제안된 공격 | 텔을 통해 T ÙÀ | 위변조하거나 재Ý (replay)하는 것이 ^ 가하였다.

OTAC로 변경한 암호화T 드(% , OTAC ...령어)는 다음과 같은 보안성 향À 효과 | 제공한다.

OTAC 코드의 엔트로피 기반 랜덤성 OTAC은 엔, 로피 테œ , 관점에서 ©, 한 랜덤성을 가 À것으로 , 석됨

OTAC 코드 예측 가능성 정À OTAC T 드 기반 È로운 주기의 정À적인 OTACT 드 예! 가능성이 낮음

Replay 공격 가능성 기전송된 OTAC T 드의 재-용되는 Ù기 예! 이 ^ 가능하여 Replay 공격 차단이 가능함

따라서, 기존의 MAVLink 제어...령을 OTAC 기반 암호화 T 드(% , OTAC ...령어)로 대체할 경우, 드론 하이재¹ 을 방À하는 보안 향À 효과 | 가À게 되는 것으로 단된다.